



سنجش از دور

GIS ایران



سنجش از دور و GIS ایران  
سال دوازدهم، شماره اول، بهار ۱۳۹۹  
Vol.12, No. 1, Spring 2020  
Iranian Remote Sensing & GIS

۵۵-۷۲

## توزیع مکانی-زمانی دما و تبخیر- تعرق مرجع با استفاده از داده‌های CRU در خراسان رضوی و پیش‌نگری تغییرات آتی برمبنای مدل‌های اقلیمی CMIP5

منصوره کوهی<sup>\*</sup>، زهرا شیرمحمدی<sup>۲</sup>، علی اکبرخانی<sup>۳</sup>، آزاده محمدیان<sup>۴</sup>، مجید حبیبی نوختن<sup>۴</sup>

۱. استادیار پژوهشکده اقلیم‌شناسی و تغییر اقلیم، مشهد

۲. استادیار گروه مهندسی آب، متحتم آموزش عالی کشاورزی و دامپروری، تربت حام

۳. کارشناس ارشد مهندسی آبیاری و زهکشی، پژوهشکده اقلیم‌شناسی و تغییر اقلیم، مشهد

۴. دانشیار پژوهشکده اقلیم‌شناسی و تغییر اقلیم، مشهد

تاریخ پذیرش مقاله: ۱۳۹۹/۰۲/۱۷

تاریخ دریافت مقاله: ۱۳۹۸/۰۵/۱۲

### چکیده

تبخیر- تعرق گیاه مرجع متغیری است که مهم‌ترین جزء چرخه هیدرولوژی محسوب می‌شود. با توجه به ارتباط مستقیم تبخیر- تعرق مرجع با متغیرهای اقلیمی، انتظار می‌رود افزایش دمای هوا و تغییرات فراسنج‌های مرطبه با دما در روند و مقدار ET<sub>0</sub> تأثیر بگذارد. در این مطالعه، ضمن بررسی مهارت داده‌های شبکه‌ای CRU در برآورد میانگین سالیانه سه متغیر دمای کمینه، بیشینه و تبخیر- تعرق در استان خراسان رضوی، پیش‌نگری تغییر در مقدار، نوسانات مکانی و روند زمانی این سه متغیر، با استفاده از برآورد چهار مدل سری CMIP5، تحت دو سناریوی و اداشت تابشی (۴.۵° و ۸.۵° طی دو دوره آینده نزدیک (۲۰۵۰-۲۰۸۰) و آینده میانی (۲۰۲۱-۲۰۵۰) بررسی شد. نتایج نشان داد داده‌های CRU دارای مهارت مناسبی در شبیه‌سازی دما در منطقه‌اند. میانگین سالیانه دمای کمینه، در دوره ۲۰۵۰-۲۰۲۱، تحت هر دو سناریو، بیش از ۱۶°C افزایش خواهد یافت که تحت RCP8.5. مساحت بیشتری از استان دچار این افزایش خواهد شد. این منطقه، طی دوره ۲۰۲۱-۲۰۸۰، با افزایش بیش از ۳°C در میانگین سالیانه دمای کمینه مواجه خواهد شد. افزایش دمای بیشینه در سناریوی RCP8.5 طی دوره میانی، در تمامی استان، حدود ۴°C برآورد شد. مقایسه مقدار ET<sub>0</sub> مشاهداتی با برآورد داد چهار مدل اقلیمی در تمامی نقاط شبکه برای دوره پایه نشان داد، پرغم تفاوت در مقدار، نهوده پراکنش مکانی مقدار ET<sub>0</sub> مدل با توزیع مکانی مقادیر مشاهداتی هم‌خوانی مناسبی دارد. براساس نتایج بهدست‌آمده، طی دو دوره مورد بررسی، این متغیر افزایش خواهد یافت و همان‌طور که انتظار می‌رود، تحت سناریوی بیش از سناریوی مقابل است.

کلیدواژه‌ها: تغییر اقلیم، تبخیر- تعرق، داده‌های شبکه‌ای CRU، مدل اقلیمی.

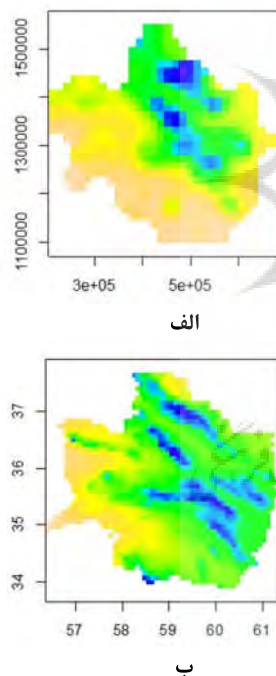
\* نویسنده مکاتبه‌کننده: مشهد، بلوار جمهوری اسلامی، خیابان صابر، پژوهشکده اقلیم‌شناسی، صندوق پستی ۹۱۷۳۵-۶۷۶، تلفن: ۰۵۱۳۲۸۲۴۸۱، ۰۵۱۳۲۱۲۳۵۴۶

Email: man\_koohi@yahoo.com

## ۲- مواد و روش‌ها

### ۱-۱- منطقه مورد بررسی

استان خراسان رضوی، با وسعتی بیش از ۱۲۴ هزار کیلومترمربع، در شمال شرق ایران واقع شده است. این استان دارای تنوع اقلیمی است اما، در کل، اقلیم آن در دو طبقه خشک و نیمه‌خشک سرد قرار می‌گیرد. شکل ۱ میانگین دو متغیر دمای میانگین و بارش در دوره نرمال اقلیمی اخیر (۱۹۸۱-۲۰۱۰) را نشان می‌دهد. میانگین بارش سالیانه استان بین ۱۵۰ میلی‌متر در مناطق جنوبی و شرق و مرکزی، تا حدود ۳۰۰ تا ۴۰۰ میلی‌متر در مناطق شمالی و مرتفع، متغیر است (شکل ۱-الف).



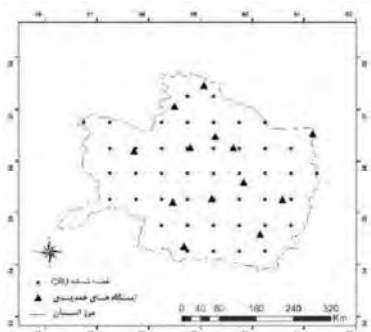
شکل ۱. میانگین بارش سالیانه بر حسب میلی‌متر (راست) و دمای سالیانه (C) (ب) در خراسان رضوی  
داده‌ها: مرکز ملی خشکسالی

1. Reference evapotranspiration
2. Global circulation models
3. Coupled Model Intercomparison Project
4. Representative Concentration Pathways
5. Intergovernmental Panel on Climate Change

### ۱- مقدمه

انتشار گازهای گلخانه‌ای ناشی از فعالیت انسان، که به صورت تابشی فعال‌اند، منجر به گرمایش جهانی شده است (IPCC, 2013). تبخیر- تعرق گیاه مرجع<sup>۱</sup> متغیری است که بزرگ‌ترین جزء چرخه هیدرولوژی محسوب می‌شود. از این متغیر می‌توان برای کمی کردن مقدار هدررفت آب از حوضه، طراحی و مدیریت سیستم‌های آبیاری و زهکشی، زمان‌بندی آبیاری، مطالعات زیست محیطی و ارزیابی آثار هیدرولوژیکی تغییر اقلیم بهره جست. با توجه به ارتباط مستقیم تبخیر- تعرق مرجع با متغیرهای اقلیمی، انتظار می‌رود افزایش دمای هوا و تغییرات در فرآینج‌های مرتبط با دما بر روند و مقدار این متغیر تأثیر بگذارد. اگرچه در سال‌های گذشته، از سری‌های زمانی و یا روش‌های رگرسیونی برای پیش‌بینی تغییرات آتی ET<sub>O</sub> استفاده شده است (طلاتپه و همکاران، ۱۳۹۲؛ زارع ابیانه و همکاران، ۱۳۹۴)، در حال حاضر، مدل‌های گردش جهانی<sup>۲</sup> با در دسترس قرار دادن متغیرهای اقلیمی مورد نیاز در برآورد و تخمین تبخیر- تعرق، به منزله معتبرترین ابزار در پیش‌نگری‌های اقلیمی شناخته می‌شوند. در این مطالعه، پیش‌نگری نوسانات مکانی و روند زمانی سه متغیر دمای کمینه، دمای بیشینه و ET<sub>O</sub>، با استفاده از برونداد چهار مدل سری CMIP5<sup>۳</sup> تحت شدیدترین سناریوی تابشی<sup>۴</sup> (RCP8.5) و یک سناریوی حد متوسط (RCP4.5) برای استان خراسان رضوی طی دو دوره آینده نزدیک (۲۰۵۰-۲۰۲۱) و آینده میانی (۲۰۸۰-۲۰۵۱)، بررسی شده است. سناریوی RCP8.5 سناریوی حد بالای واداشت تابشی و درواقع، بدترین حالت ممکن گرمایش جهانی را نمایندگی می‌کند. از چنین سناریویی به طبع، انتظار افزایش معنادار ET<sub>O</sub> آینده می‌رود؛ بنابراین، در این پژوهش، با هدف پوشش سایر سناریوهای مورد تأیید هیئت بین‌الدول تغییر اقلیم (IPCC)<sup>۵</sup>، از یک سناریوی حد متوسط (RCP4.5) نیز استفاده شده است.

سال ۱۳۹۵ (انجام شدن این طرح) در ایستگاه در گز<sup>۶</sup>، خوف و فریمان<sup>۷</sup>، تربت جام<sup>۸</sup>، نیشابور<sup>۹</sup>، گناباد و گلمکان<sup>۱۰</sup>، کاشمر<sup>۱۱</sup>، سرخس و قوچان<sup>۱۲</sup>، تربت حیدریه<sup>۱۳</sup>، سبزوار<sup>۱۴</sup> و مشهد<sup>۱۵</sup> ۶۳ سال است.



شکل ۲. نقاط شبکه CRU در محدوده استان خراسان رضوی و موقعیت ایستگاه‌های مورد بررسی

**۲-۲-۲- برونداد مدل‌های اقلیمی**

مدل‌های گردش عمومی جو-اقیانوس (AOGCM)<sup>۳</sup> مدل‌هایی استانداردند که در ارزیابی گزارش چهارم هیئت بین‌الدولی تغییر اقلیم (AR4)<sup>۴</sup> به کار رفته‌اند. این مدل‌ها براساس شناخت مؤلفه‌های فیزیکی و دینامیکی سامانه اقلیم (جو، اقیانوس، سطح زمین و یخ دریا) طراحی شده و پیش‌نگری‌های این مدل‌ها براساس IPCC و داشت گازهای گلخانه‌ای و آثروسول‌هاست (<sup>۵</sup>). این مدل‌ها قادرند برآوردهای کمی مورد اطمینانی از تغییر اقلیم آتی، به‌ویژه در مقیاس‌های بزرگ و قاره‌ای، فراهم آورند (IPCC, 2007; Meinshausen et al., 2009). برنامه جهانی تحقیقات اقلیمی (WCRP)<sup>۶</sup> پیش‌نگری‌های جهانی اقلیم را، براساس فاز پنجم پروژه هم‌سنج مدل جفت‌شده (CMIP)<sup>۷</sup>، در اختیار جامعه

از نظر دمایی، استان خراسان رضوی تابستان‌هایی گرم و زمستان‌هایی تقریباً سرد دارد و میانگین دمای سالیانه، از شمال به جنوب، افزایش می‌یابد؛ به‌گونه‌ای که میانگین سالیانه دمای شهرستان فریمان  $12/3^{\circ}\text{C}$  است و سردترین منطقه خراسان رضوی محسوب می‌شود و شهرستان سبزوار، با دمای میانگین سالیانه  $18/3^{\circ}\text{C}$ ، گرم‌ترین نقطه استان به حساب می‌آید میانگین بیشینه دمای استان  $22/5^{\circ}\text{C}$  و میانگین کمینه دمای استان، طی دوره آماری،  $9/3^{\circ}\text{C}$  محاسبه شده است (شکل ۱- ب).

## ۲-۲- داده‌ها

در این پژوهش، از داده‌های مشاهداتی به صورت شبکه‌ای و نقطه‌ای (ایستگاهی) و برونداد مدل‌های اقلیمی Reclamation، (2013)، به‌منظور پیش‌نگری دمای کمینه و بیشینه و برآورد تبخیر- تعرق استفاده شده است.

### ۲-۲-۱- داده‌های مشاهداتی شبکه‌ای و نقطه‌ای

در این مقاله، از داده‌های شبکه‌ای سری‌های زمانی واحد تحقیقات اقلیمی<sup>۸</sup> (CRU TS3.23) انگلستان، بهمنزله داده‌های مشاهداتی شبکه‌ای، استفاده شده است (<http://data.ceda.ac.uk>). از آنجاکه این داده‌ها در تصحیح اربی برونداد مدل‌های اقلیمی جهانی به کار رفته و دارای قدرت تفکیک یکسان با برونداد ریزمقیاس‌شده مدل‌های اقلیمی‌اند، در این پژوهش، از متغیرهای میانگین ماهیانه دمای بیشینه و دمای کمینه CRU به‌منظور صحبت‌سنگی برونداد مدل‌های اقلیمی استفاده شده است. در شکل ۲، نقاط شبکه CRU و موقعیت جغرافیایی ایستگاه‌های همدیدی خراسان رضوی نشان داده شده است.

به‌منظور صحبت‌سنگی مجموعه داده‌های شبکه CRU، مقدار دمای کمینه و بیشینه برآورده این بانک با مقدار مشاهداتی در ایستگاه‌های همدید خراسان رضوی مقایسه شد. طول دوره آماری این متغیرها تا

1. Bias Correction and Statistical Downscaling (BCSD)
2. Climatic Research Unit
3. Atmosphere-Ocean Global Circulation Model
4. IPCC Fourth Assessment Report
5. World Climate Research Programme
6. Coupled Model Intercomparison Project

عدم قطعیت بالای آن‌ها در خروجی‌های روزانه، به‌ویژه بازش، استفاده مقتبیم از برونداد این مدل‌ها طی مطالعات تحلیل آثار تغییر اقلیم در بخش‌های گوناگون و استفاده از آن‌ها در مدل‌های هیدرولوژیکی اطمینان‌بخش نیست (Semenov, 2008). برای استفاده از این داده‌ها، باید خروجی‌های این مدل‌ها بهروش‌های متفاوتی، در سطوح ایستگاهی، ریزمقیاس شود. روش‌های ریزمقیاس‌کردن شامل ریزمقیاس‌کردن دینامیکی با استفاده از مدل‌های اقلیمی منطقه‌ای همچون RegCM<sup>1</sup> (Giorgi, 1990)، ریزمقیاس‌کردن آماری با استفاده از مدل‌هایی چون ASD<sup>2</sup> (Hessami et al., 2001) و SDSM (Wilby et al., 2001) و LARS (Semenov and Brooks, 1999) می‌شود.

علمی قرار داد (Taylor et al., 2012). مزیت CMIP5 بر نسخه قبلی در قدرت تفکیک بالاتر مدل‌های استفاده شده در آن، تعداد بیشتر مدل‌ها و مجموعه غنی‌تری از میدان‌های خروجی (علاوه بر دما و بارش) است. در مدل‌های سری CMIP5، از سناریوهای جدید به نام «نماینده خط‌سیر غلظت گازهای گلخانه‌ای»<sup>3</sup> استفاده شده است که شامل چهار سناریو با نام‌های RCP2.6، RCP4.5، RCP8.5 و RCP6 می‌شود. این سناریوها براساس میزان و اداشت تابشی آن‌ها در سال ۲۱۰۰ نام‌گذاری شده‌اند (جدول ۱).

### ۲-۳-۲- روش‌های ریزمقیاس‌کردن به‌دلیل قدرت تفکیک پایین زمانی و مکانی و GCMs

جدول ۱. مشخصات سناریوهای RCP

سناریو	کربن (ppm) تا سال ۲۱۰۰	واداشت تابشی (Wm <sup>-2</sup> ) تا سال ۲۱۰۰	غلظت دی‌اکسید کربن واداشت تابشی	مشخصات سناریوهای RCP
RCP8.5	۱۳۷۰	۸.۵	گروه مدل‌سازی MESSAGE	بدون اتخاذ هیچ گونه سیاست‌های کاهش آثار و مقابله با پیامدهای تغییر اقلیم، آب و هوای کره زمین در خط‌سیر انتشار پیش خواهد رفت؛ تا اینکه ادامه این روند منجر به واداشت تابشی بهمیزان ۸۵ وات بر متر مربع در سال ۲۱۰۰ می‌شود. در این هنگام، غلظت دی‌اکسید کربن به ۱۰۰۰ ppm می‌رسد و همچنان روند افزایشی خواهد داشت.
RCP6	۸۵۰	۶	گروه مدل‌سازی AIM در مؤسسه ملی مطالعات فناوری‌های جدید و سیاست‌های کاهش گازهای گلخانه‌ای، ثابت می‌ماند.	واداشت تابشی بعد از سال ۲۱۰۰، به‌دلیل استفاده از واداشت تابشی ناشی از این گازها، پیش از سال ۲۱۰۰، در مقدار ۴.۵ وات بر متر مربع ثابت می‌ماند.
RCP4.5	۶۵۰	۴.۵	گروه مدل‌سازی MiniCAM و مؤسسه JGCRI (در شمال غرب اقیانوس آرام)	در میانه این قرن، واداشت تابشی به حدود ۳.۱ می‌رسد و سپس کاهش می‌یابد و به ۲.۶ وات بر متر مربع در سال ۲۱۰۰ می‌رسد. برای رسیدن به این سطح واداشت تابشی، گازهای گلخانه‌ای باید کاهش سیار معنابه‌ی بیابند.
RCP2.6	۴۹۰	۲.۶	گروه مدل‌سازی IMAGE از مؤسسه ارزیابی‌های محیطی هلند	در میانه این قرن، واداشت تابشی به حدود ۲.۱ می‌رسد و سپس کاهش می‌یابد و به ۲.۶ وات بر متر مربع در سال ۲۱۰۰ می‌رسد. برای رسیدن به این سطح واداشت تابشی، گازهای گلخانه‌ای باید کاهش سیار معنابه‌ی بیابند.

1. Representative Concentration Pathways

2. REGional Climate Model

3. Automated Statistical Downscaling

معادلات رایج در محاسبه تبخیر- تعرق مرجع دامنه‌ای از انواع روش‌ها، شامل معادلات دمای مبنای و تابش- مبنای و معادلات ترکیبی، را دربر می‌گیرد. به ترتیب پیچیدگی، این مدل‌ها شامل بلانی- کریدل<sup>۳</sup> (Doorenbos and Pruitt, 1977)، هارگریوز- سامانی<sup>۴</sup> (Thornthwaite, 1948)، هارگریوز- سامانی<sup>۵</sup> (Hargreaves and Samani, 1982)، فائقه- پمن- مانتیث<sup>۶</sup> می‌شوند که آخرین مورد از روش هارگریوز- سامانی در محاسبه تابش بهره می‌برد (Allen et al., 1998). برای حل معادلات توازن انرژی ترکیبی، با توجه به عدم دسترسی به تمامی داده‌های ورودی، همانند بسیاری از مطالعات بررسی اثرات تغییر اقلیم، در تحقیق حاضر نیز، برای تخمین ET<sub>0</sub>، از معادلات تجربی دمای تابش- مبنای، مانند روش هارگریوز- سامانی، استفاده شده است (سیاری و همکاران، ۱۳۹۰؛ بابائیان و کوهی، ۱۳۹۱؛ Elmahdi et al., 2009) معادله هارگریوز- سامانی تفاوت روزانه دمای بیشینه و کمینه را، به منزله نماینده‌ای در برآورد تابش خالص، به کار می‌برد (رابطه (۱)).

$$ET_0 = 0.0023 (T_{\text{mean}} + 17.8)(T_{\text{max}} - T_{\text{min}})^{0.5} R_a \quad (1)$$

سه روش آماری دیگر شامل تصحیح اریبی، فاکتور تغییر و نگاشت چندک نیز، برای تولید داده‌های روزانه و ماهیانه اقلیمی شبکه‌بندی شده طی دوره‌های آتی، به کار می‌روند. از بین روش‌های یادشده، نگاشت چندک برای متغیرهایی چون بارش و تابش خورشیدی، که ماهیتی تصادفی دارند، کاربرد دارد. رهیافت تصحیح اریبی<sup>۷</sup> برون‌داد خام روزانه پیش‌بینی شده GCM را، با استفاده از تفاوت در میانگین و تغییرپذیری بین GCM و مشاهدات در دوره پایه، اصلاح می‌کند (Reclamation, 2013). در این پژوهش، از برون‌داد چهار مدل اقلیمی استفاده شده و مشخصات مدل‌های اقلیمی منتخب در این پژوهش، در جدول ۲، آورده شده است.

#### ۴-۲- برآورد تبخیر- تعرق مرجع

براساس استاندارد سازمان خواربار و کشاورزی ملل متحده (FAO)، تبخیر- تعرق گیاه مرجع (ET<sub>0</sub>) عبارت است از میزان آبی که مزرعه‌ای پوشیده از گیاه مرجع (نظیر چمن)، در دوره زمانی مشخصی، مصرف می‌کند؛ به طوری که گیاهان این مزرعه، در طول دوره رشد، با کمبود آب مواجه نشوند. این متغیر به دو روش مستقیم (لایسیمتر) و غیرمستقیم (استفاده از روش‌های ترکیبی، آبودینامیک و تجربی) برآورد می‌شود.

جدول ۲. مدل‌های اقلیمی جهانی مورد بررسی در این پژوهش

نام مدل	نوع	قررت تفکیک	گروه مدل‌سازی	کشور
CSIRO-Mk3-6-0	AO	۱.۸°×۱.۸°	علمی کشورهای مشترک‌المنافع	استرالیا
IPSL-CM5A-LR	ChemESM	۱.۸°×۳.۸°	سازمان همکاری با کوئینزلند	فرانسه
GFDL-ESM2G	ESM	۲.۱°×۲.۶°	آزمایشگاه دینامیک سیالات NOAA	ایالات متحده
CCSM4	AO	۰.۹°×۱.۲۵°	دانشگاه میامی	ایالات متحده

1. Bias correction

2. Food and Agriculture Organization of the United Nations

3. Blaney & Criddle

4. Thornthwaite

5. Hargreaves-Samani

6. FAO Penman-Monteith

## ۶-۲- آزمون روند

با هدف طرح ویژگی‌های زمانی تبخیر- عرق طی دوره مشاهداتی و آتی، تحلیل روند میانگین سالیانه این متغیرها با دو روش پارامتری کمترین مربعات خطأ و روش ناپارامتری من- کنдал انجام شده است.

با توجه به ناپارامتری بودن آزمون من- کنдал، برای تعیین مقدار شبیه روند، از روش سن<sup>۳</sup> (۱۹۶۸) و تیل<sup>۴</sup> (۱۹۵۰) استفاده شد (رابطه (۸)). مزیت و برتری اصلی روش مورد نظر بر روش رگرسیون خطی این است که، در این روش، داده‌های پرت موجود در سری داده‌ها اثر اندکی در تعیین شبیه روند دارند (Novotny and Stefan, 2007).

$$\beta = \text{Median} \left[ \frac{x_j - x_i}{j-i} \right] \quad \text{برای هر } i > j$$

رابطه (۸)

در این رابطه،  $x_i$  و  $x_j$ ، به ترتیب، امین و امین داده مشاهداتی‌اند.  $\beta$  نیز مقدار شبیه است که مقدار آن، بهمنزله میانه دنباله مقادیر داخل کروشه، معرفی شده است.

## ۳- نتایج

با توجه به اینکه سطوح اقلیمی دما و بارش CRU کل خشکی‌های جهان را پوشش می‌دهند، لازم است مقادیر مربوط به متغیرهای مورد نیاز برای نقاط شبکه پوشش دهنده منطقه مورد مطالعه استخراج شود. بدین‌منظور، با استفاده از بسته‌های نرم‌افزاری موجود و کدنویسی در محیط نرم‌افزار R، داده‌های مربوط به میانگین ماهیانه دمای بیشینه و کمینه روزانه، در مورد دوره ۱۴-۲۰۱۹، از مجموعه داده‌های CRU پوشش دهنده استان خراسان رضوی (۴۵ نقطه شبکه) استخراج شد و با ترسیم نمودار تیلور، میزان نزدیکی مقادیر شبکه‌ای این دو متغیر با مقادیر مشاهداتی نقاطی، به صورت ایستگاه‌به‌ایستگاه، مقایسه شد.

1. Taylor  
2. Sen  
3. Theil

در این معادله،  $T_{\max}$ ،  $T_{\min}$  و  $T_{\text{mean}}$ ، به ترتیب، دمای بیشینه و دمای کمینه و دمای میانگین بر حسب درجه سلسیوس و Ra تابش بروزن زمینی ( $Mj\ m^{-2}\ day^{-1}$ ) به شمار می‌آیند.

## ۴-۵- معیارهای دقت مدل

نمودار تیلور<sup>۱</sup> (۲۰۰۱) میزان نزدیکی و هم‌خوانی یک یا چند الگو را با داده‌های مشاهداتی، به صورت ترسیمی، ارائه می‌دهد. شباهت بین دو الگو، بر حسب مقدار ضریب همبستگی آن‌ها و تفاوت جذر میانگین مربعات خطأ و دامنه نوسانات (مقادیر انحراف معیار داده‌ها)، به صورت کمی نشان داده می‌شود. دلیل اینکه هر نقطه این نمودار در فضای دوبعدی قادر است سه آماره را هم‌زمان نشان دهد استفاده از رابطه (۲) است.

$$E^2 = \text{Var}(X_r - X_f) = \sigma_f^2 + \sigma_r^2 - 2\sigma_f\sigma_r R$$

رابطه (۲)

در این رابطه،  $X_f$  و  $X_r$ ، به ترتیب، کمیت میدان آزمون و کمیت میدان مرجع را نشان می‌دهند. R ضریب واستگی بین میدان‌های مرجع و آزمون، E تفاوت مرکزی شده RMS بین میدان‌ها و  $\sigma_f^2$  و  $\sigma_r^2$  واریانس میدان‌های مرجع و مورد آزمون محاسبه می‌شوند.

اگر f میدان آزمون و r میدان مرجع باشد، واریانس هر کمیت و ضریب واستگی با استفاده از روابط (۳) تا (۷) به دست می‌آید.

$$R = \frac{\frac{1}{N} \sum_{n=1}^N (f_n - \bar{f})(r_n - \bar{r})}{\sigma_f \sigma_r}$$

رابطه (۳)

$$E^2 = \frac{1}{N} \left[ \sum_{n=1}^N (f_n - \bar{f})(r_n - \bar{r}) \right]^2$$

رابطه (۴)

$$\sigma_f^2 = \frac{1}{N} \sum_{n=1}^N (f_n - \bar{f})^2$$

رابطه (۵)

$$\sigma_r^2 = \frac{1}{N} \sum_{n=1}^N (r_n - \bar{r})^2$$

رابطه (۶)

نمودار (با همبستگی مشخص شده با کسینوس زاویه سمت رأس) براساس شباهت رابطه (۲) و قانون کسینوس ترسیم می‌شود (رابطه (۷)).

$$c^2 = a^2 + b^2 - 2ab \cos\varphi$$

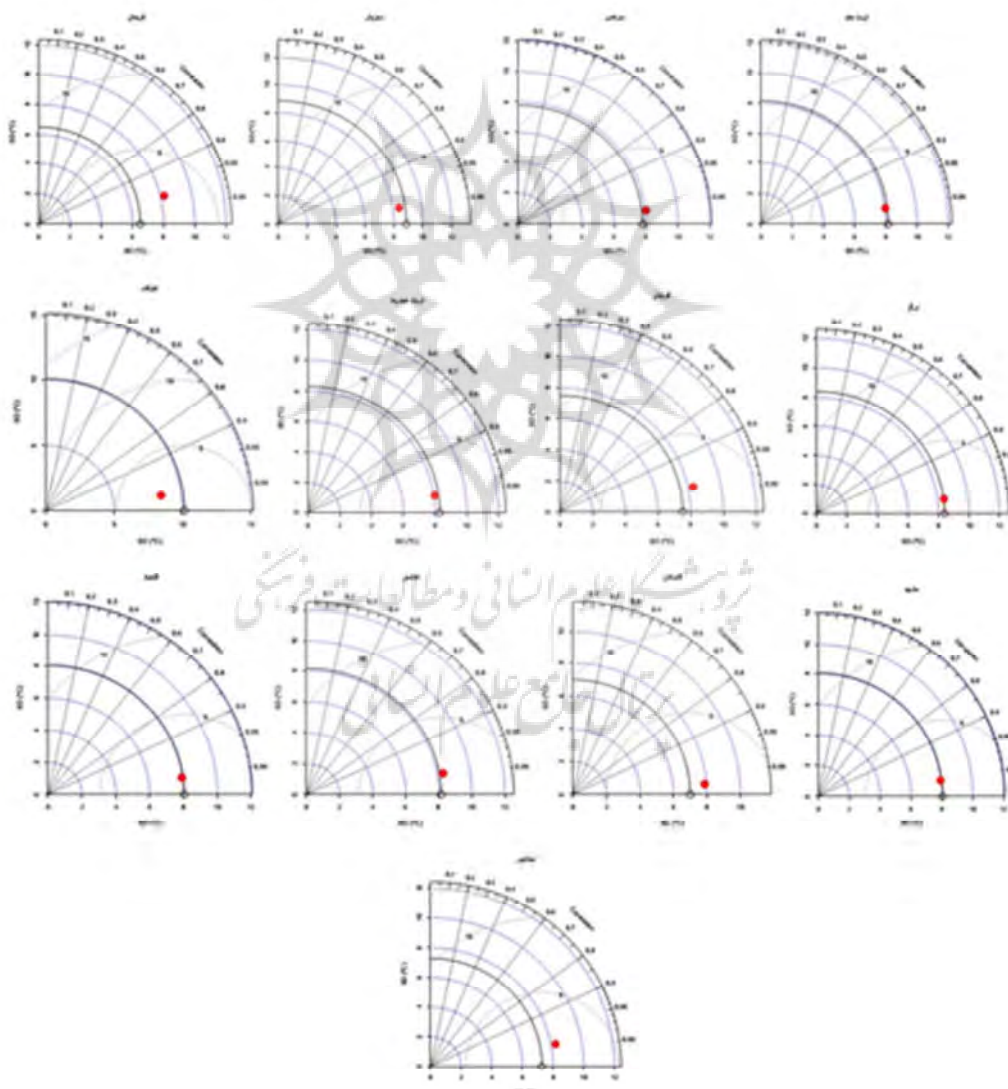
رابطه (۷)

توxالی روی محور  $x$  متناسب است. در ادامه، توضیحات درباره مقایسه این دو سری داده دما، به تفکیک، برای دو متغیر دمای کمینه و بیشینه آورده شده است.

### ۱-۳- دمای کمینه

بیشترین میزان هم خوانی بین مقادیر ایستگاهی دمای کمینه و داده‌های شبکه‌ای CRU در ایستگاه‌های مشهد، تربت جام، درگز، تربت حیدریه، کاشمر، گناباد، سرخس به دست آمده است (شکل ۳)، در این

همان طور که در بخش ۵-۲ آمده است، با توجه به امکان بررسی هم‌زمان سه معیار دقت مرکزی در نمودار تیلور، از این ابزار برای بررسی میزان انطباق الگوهای دمای ماهیانه درون‌یابی شده CRU، با داده‌های مشاهداتی نقطه‌ای (ایستگاهی)، استفاده شد. دمای مشاهداتی با دایره توxالی روی محور  $x$  و دمای مدل (CRU) با دایرة توپر مشخص شده است. در نمودار تیلور، تفاوت میانگین مربعات خطای بین الگوی ایستگاهی و CRU (دایرة توپر) با فاصله نقطه تا دایرة



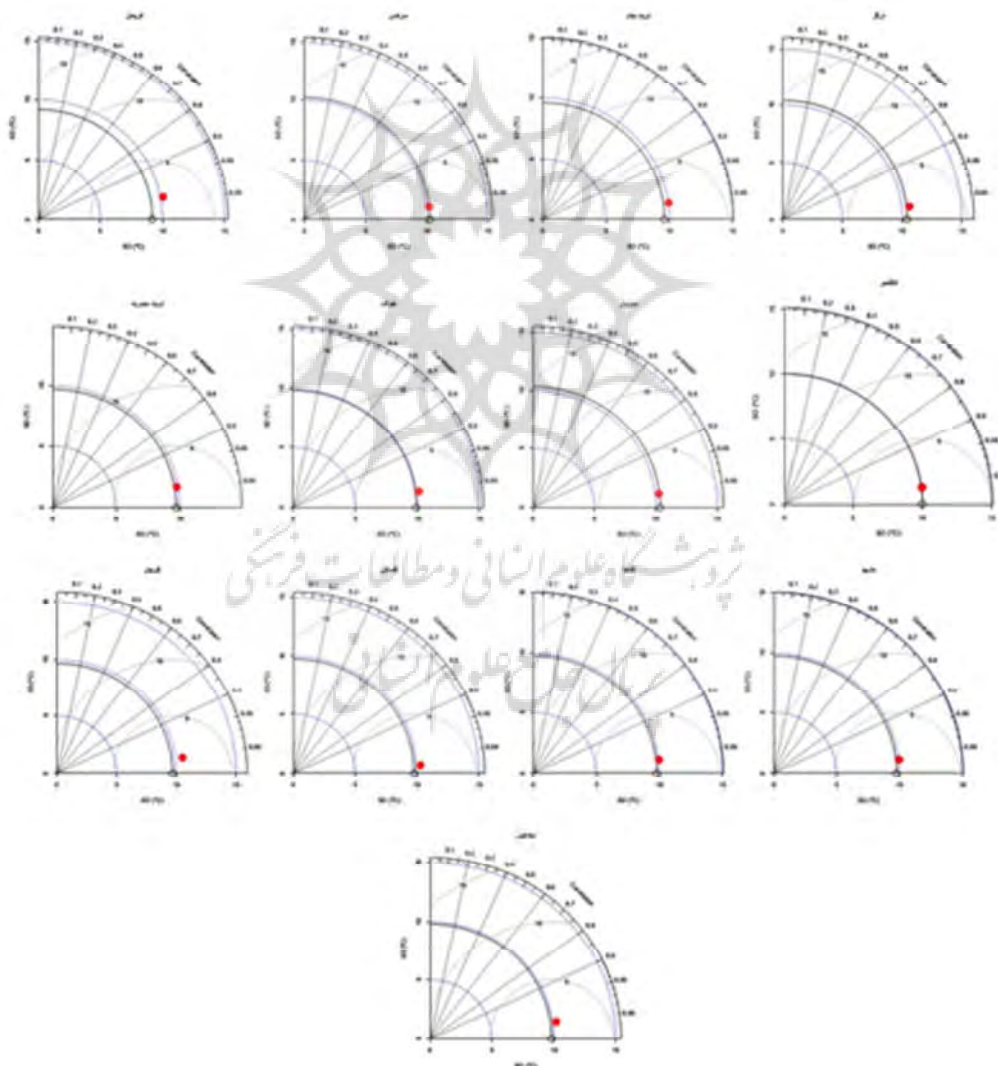
شکل ۳. مقایسه میانگین ماهیانه دمای کمینه داده‌های نقطه‌ای (ایستگاه‌های همدیدی خراسان رضوی) با شبکه‌ای CRU

سری داده‌های ماهیانه دمای بیشینه در هر ایستگاه (دایره توخالی) با مقادیر دمای میانگین ماهیانه به دست آمده از نقطه شبکه CRU هر ایستگاه (دایرة توپر) مقایسه صورت گرفت. براساس این نمودار، در تمامی ایستگاه‌های مورد بررسی، مقادیر میانگین ماهیانه دمای بیشینه دو سری مشاهداتی و CRU شدت همبستگی بیش از ۰.۹۹ دارند. مقدار RMSE برای این ایستگاه‌ها بین ۱-۲° C بوده است. نتایج ضعیف ارزیابی این متغیر متعلق به ایستگاه‌های فریمان و قوچان است. همان‌طور که در شکل ۴ مشاهده می‌شود، برغم شدت

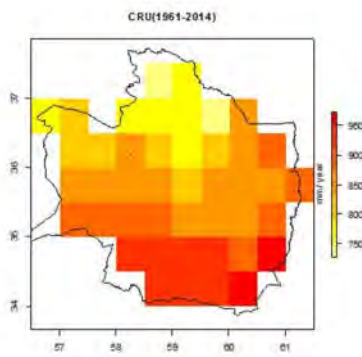
ایستگاه‌ها، مقدار ضریب همبستگی دو سری داده بیش از ۰.۹۹ شده است. مقادیر انحراف معیار دو سری داده نیز با هم برابرند و مقدار RMSE بین ۱-۱.۵° C است. در ایستگاه‌های فریمان، قوچان، گلمکان و نیشابور، مقدار انحراف معیار برآورده برای داده‌های شبکه‌ای CRU بیش از مقادیر مشاهداتی و در ایستگاه خوف، کمتر از انحراف معیار داده‌های نقطه‌ای به دست آمد.

### ۳-۲- دمای بیشینه

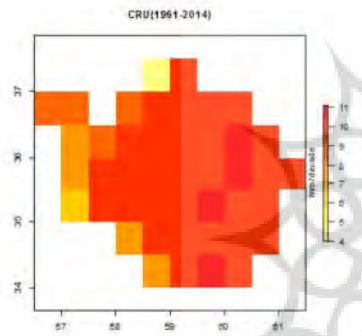
همانند دمای کمینه و با استفاده از نمودار تیلور، بین دو



شکل ۴. مقایسه میانگین ماهانه دمای بیشینه روزانه نقطه‌ای (ایستگاه‌های همدیدی خراسان رضوی) با شبکه‌ای CRU



شکل ۵. توزیع مکانی تبخیر- تعرق مرجع سالیانه، طی دوره ۱۹۶۱-۲۰۱۴



شکل ۶. توزیع مکانی مقدار شیب خط رگرسیونی تبخیر- تعرق سالیانه، طی دوره ۱۹۶۱-۲۰۱۴

به منظور بررسی معناداری روند متغیر طی دوره مورد بررسی، آزمون کمترین مربعات خطا انجام گرفت. نتایج نشان داد شیب خط اختلاف معناداری با صفر دارد؛ بنابراین، روند (افزایشی) در سری داده‌ها تأیید می‌شود. به منظور برآورد مقدار شیب روند در روش من-کنдал، از روش سن-تیل استفاده شد. در شکل ۷، توزیع مکانی مقدار شیب به روش من-کنдал نشان داده شده است. مطابق شکل، مقدار شیب به دست آمده در دامنه از ۷.۵ تا ۱۶ میلی‌متر بر سال قرار دارد. در این روش، مقدار این شیب در قسمت مرکزی و شمالی بیش از ناحیه شرقی استان است. در این روش، در مقایسه با روش رگرسیون خطی، مقدار شیب خط روند

همبستگی بالا بین دو سری داده، که پیروی دما در دو سری داده را از الگوی زمانی مشابه نشان می‌دهد، در این دو ایستگاه، مقادیر SD بیش از انحراف معیار داده‌های مشاهداتی است. تفاوت مقادیر SD دمای درون‌یابی شده در نقاط شبکه CRU TS3.23 با مقادیر مشاهداتی ایستگاهی بیش از  $10^{\circ}\text{C}$  بدست آمد.

### ۳-۳- توزیع مکانی تبخیر- تعرق مرجع سالیانه طی دوره پایه

با استفاده از لایه‌های اطلاعاتی میانگین ماهیانه دمای کمینه و بیشینه روزانه CRU و میانگین ماهیانه مقدار تشعشع خورشیدی، با کدنویسی در نرم‌افزار R، با استفاده از رابطه (۱)، مقدار تبخیر- تعرق مرجع ماهیانه طی دوره مذکور محاسبه شد.

در ادامه، مقادیر این متغیر در مقیاس سالیانه، برای نقاط شبکه CRU، محاسبه شد. در شکل ۵، توزیع مکانی میانگین سالیانه این متغیر، طی دوره مورد بررسی، آورده شده است. همان‌طور که مشاهده می‌شود، دامنه این متغیر در محدوده خراسان رضوی از ۷۲۰ تا ۹۸۰ میلی‌متر در سال است. در توزیع مقدار شیب مکانی از جنوب به شمال وجود دارد و با افزایش عرض جغرافیایی، از میزان این متغیر کاسته می‌شود.

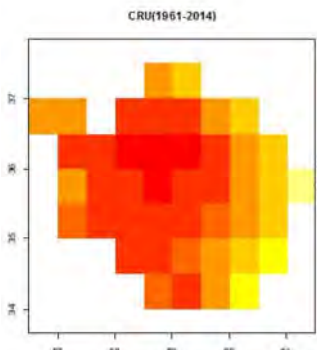
به منظور بررسی روند این متغیر طی دوره مذکور، از آزمون من-کنдал و کمترین مربعات خطا استفاده شد و معناداری هر دو آزمون، در هر نقطه شبکه، برای مقادیر سالیانه متغیر به دست آمد. براساس محاسبات انجام‌شده و طبق آزمون من-کنلال، برای تمامی نقاط شبکه پوشش‌دهنده این استان، روند این متغیر معنادار (در سطح  $\alpha=0.05$ ) و افزایشی است. مقدار شیب خط رگرسیونی برآش یافته بر مقادیر سالیانه این متغیر طی دوره مورد بررسی در شکل ۶ آورده شده است. همان‌طور که مشاهده می‌شود، طی این دوره، بیشتر مناطق استان شاهد روند افزایشی معنادار، به میزان ۱۰ تا ۱۱ میلی‌متر بر دهه، بوده‌اند.

مندرج در جدول ۲، استفاده شد. با توجه به اینکه دوره تاریخی سری مدل‌های اقلیمی CMIP5 از ۱۹۵۰ تا ۲۰۰۵ و داده‌های مشاهداتی از ۱۹۶۱ تا ۲۰۰۵ را دربر می‌گیرد، مقادیر میانگین ماهیانه دمای کمینه و بیشینه و تبخیر-تعرق مرجع برای دوره ۱۹۶۱-۲۰۰۵ استخراج و مقدار سالیانه متغیرهای مذکور، برای هر چهار مدل، به دست آمد تا توانمندی مدل‌های اقلیمی مقایسه و ارزیابی شود.

در ادامه این بخش، میزان مهارت چهار مدل اقلیمی در شبیه‌سازی مقدار و الگوی پراکنش مکانی سه متغیر بررسی و سپس، پیش‌نگری‌های انجام‌شده مطرح می‌شود.

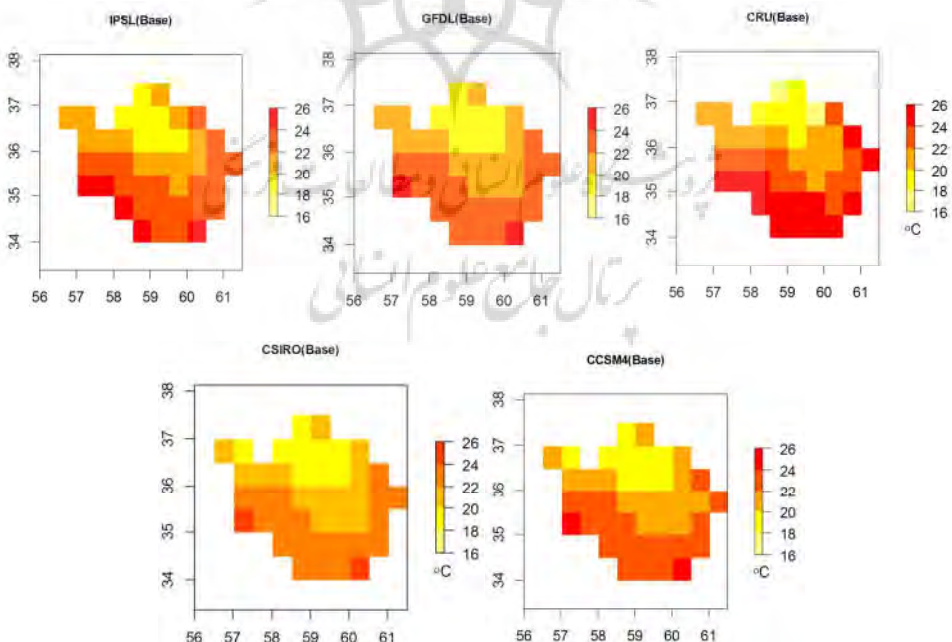
**۳-۱-۴-۳- ضعف و قدرت مدل‌های اقلیمی در شبیه‌سازی میانگین ماهیانه دما، طی دوره ۱۹۶۱-۲۰۰۵**  
به منظور بررسی توانمندی مدل‌های به کاررفته در بیان ستاریوی‌های تغییر اقلیم، مقادیر ماهیانه دمای کمینه و بیشینه از برونداد مدل‌های اقلیمی، برای دوره پایه، استخراج و نقشه‌های مورد نظر ترسیم شد (شکل ۸).

بیشتر برآورد شده است.



شکل ۷. مقدار شیب برآورده شده به روش سن-تیل، طی دوره ۱۹۶۱-۲۰۱۴

**۴-۳- پیش‌نگری تغییرات میانگین دمای کمینه، بیشینه و تبخیر-تعرق مرجع طی دوره‌های آتی**  
به منظور پیش‌نگری تغییرات سه متغیر میانگین دمای کمینه، دمای بیشینه و تبخیر-تعرق طی دوره‌های آتی و طرح سناریوهای اقلیمی این متغیرها، از برونداد چهار مدل اقلیمی آرشیو در CMIP5، با مشخصات

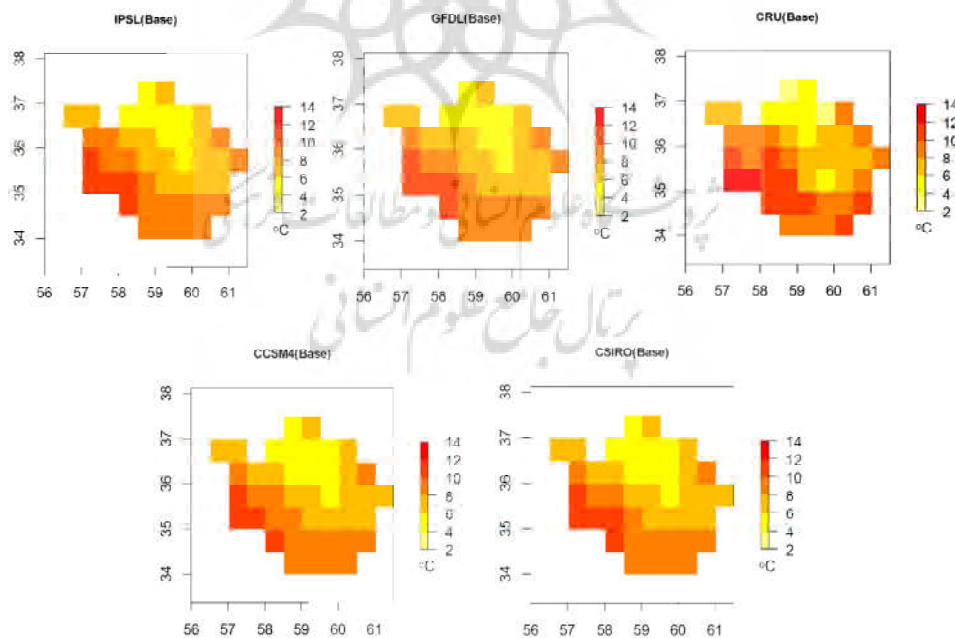


شکل ۸. مقدار و پراکنش مکانی میانگین ماهیانه دمای بیشینه براساس مقادیر مشاهداتی و چهار مدل اقلیمی

بیشینه، مقدار تبخیر- تعرق ماهیانه به روش هارگریوز- سامانی و برای دوره پایه (۱۹۶۱-۲۰۰۵) محاسبه شد و مقدار میانگین سالیانه این متغیر به دست آمد. طبق شکل ۱۰، هر چهار مدل دامنه تغییرات ET<sub>0</sub> را ندک برآورد کرده‌اند (دامنه ۷۵۰ تا ۹۵۰ میلی‌متر بر سال). با این حال، در هر چهار مدل، تغییرات مکانی از الگوی مشاهده‌ی پیروی می‌کند و بیشترین مقدار میانگین سالیانه تبخیر- تعرق، طی دوره مورد بررسی، در جنوب استان به دست آمد. این متغیر، همانند شکل ۵ (داده‌های مشاهده‌ای)، در چهار مدل نیز دارای شبکه مکانی قوی است. بیشترین مقدار این متغیر در جنوب استان و کمترین آن در نوار شمالی استان حاصل شده است. با استفاده از معیارهای دقت، همچون ضریب همبستگی و RMSE، بین مقدار میانگین سالیانه تبخیر- تعرق محاسبه شده با داده‌های شبکه‌ای CRU، طی دوره ۱۹۶۱-۲۰۰۵ و چهار مدل اقلیمی، مقایسه‌ای انجام شد. آزمون معناداری ضریب همبستگی نشان داد، در

این متغیر در مقیاس سالیانه، براساس داده‌های مشاهده‌ای، دامنه‌ای از ۱۷.۱-۲۵.۷°C<sup>o</sup> را دربر می‌گیرد. دامنه این متغیر در مدل CCSM4 بین ۱۸.۸ تا ۲۴.۲ در مدل GFDL از ۱۸.۹ تا ۲۴.۵ در IPSL بین ۱۹.۱ تا ۲۴.۷ درجه سلسیوس به دست آمد که نشان می‌دهد دامنه این متغیر، با استفاده از مدل‌های اقلیمی، کم برآورده شود. براساس نقشه ۸، این متغیر دارای شبکه مکانی است و بیشترین مقادیر این متغیر در بخش جنوبی استان مشاهده می‌شود. توزیع مکانی دمای برآورده شده با استفاده از چهار مدل نیز با مقادیر داده‌های مشاهده‌ای هم خوانی مناسبی دارد. در شکل ۹، مقایسه بین مقادیر سالیانه دمای کمینه مشاهده‌ای و مدل‌های اقلیمی نشان داده شده است. در مورد این متغیر نیز، دامنه دما در مدل‌های اقلیمی کمتر از مقادیر مشاهده‌ای بود.

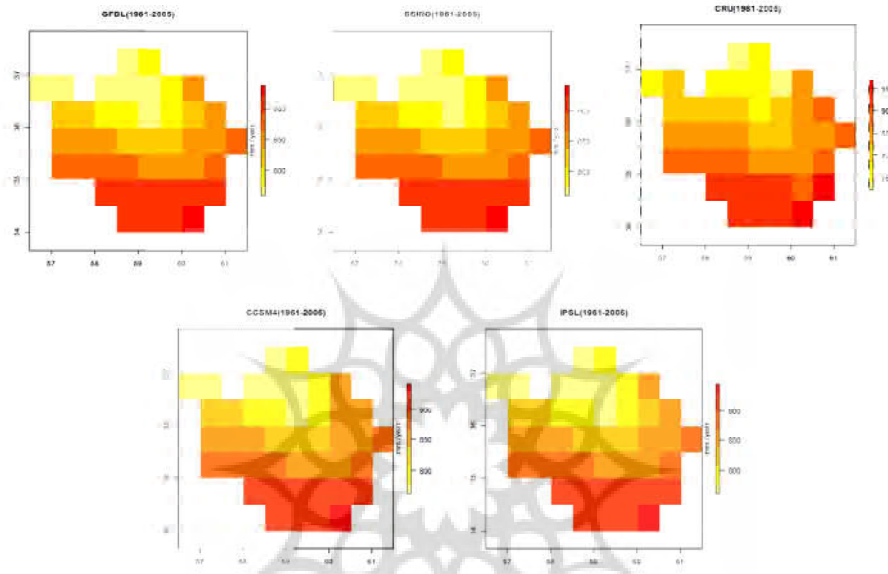
در ادامه و با توجه به توانمندی مطلوب مدل‌های اقلیمی در شبیه‌سازی میانگین سالیانه دمای کمینه و



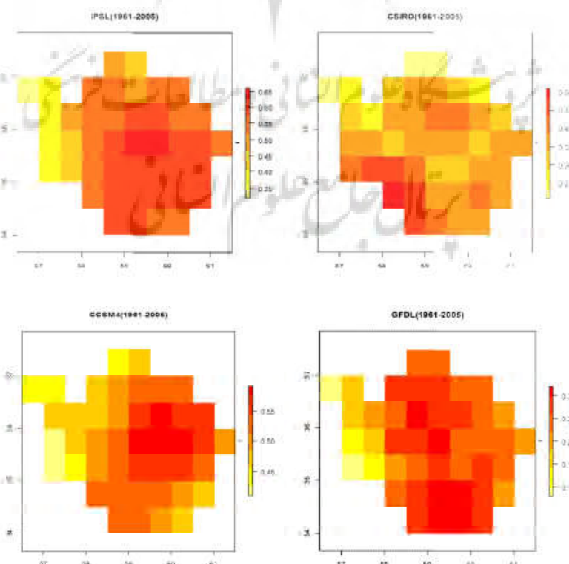
شکل ۹. پراکنش مکانی میانگین سالیانه دمای کمینه براساس مقادیر مشاهده‌ای و چهار مدل اقلیمی

در دو مدل IPSL و GFDL مشابه است. این در حالی است که، در مدل CSIRO، بیشترین مقدار همبستگی در جنوب غرب استان به دست آمده است. در مدل CCSM4، مناطق مرکز و شمال شرق استان بیشترین مقدار ضریب همبستگی را بین دو سری زمانی مورد بررسی دارند.

هر چهار مدل، این ضریب در سطح  $\alpha=0.05$  معنادار است. همان طور که در شکل ۱۱ مشاهده می‌شود، بیشترین مقدار ضریب همبستگی بین مقدار تبخیر- تعرق محاسبه شده با داده‌های شبکه‌ای CRU با استفاده از مدل IPSL به دست آمده است (در بخش مرکزی و شرقی استان). پراکندگی مکانی این ضریب



شکل ۱۰. مقدار و توزیع مکانی تبخیر-تعرق مرجع طی دوره ۱۹۶۱-۲۰۰۵، براساس داده‌های شبکه‌بندی CRU و برونو داد چهار مدل اقلیمی

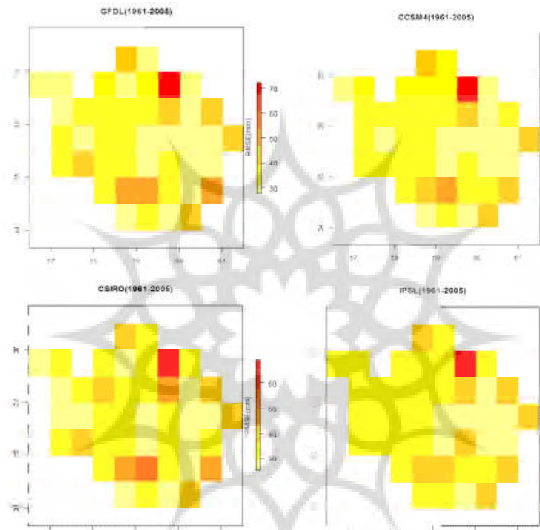


شکل ۱۱. مقدار ضریب همبستگی ساده بین میانگین سالیانه تبخیر-تعرق محاسبه شده، با استفاده از داده‌های مشاهداتی و چهار مدل اقلیمی

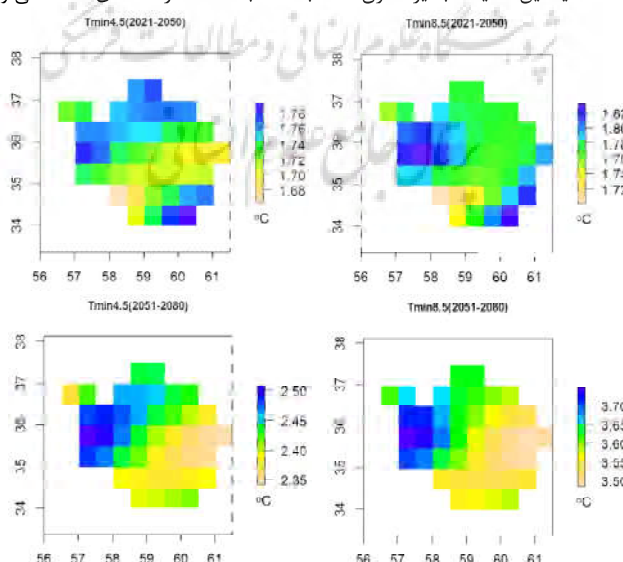
### ۲-۴-۳- پیش‌نگری‌های دما تحت سناریوهای واداشت تابشی

مقادیر میانگین سالیانه دمای کمینه و بیشینه چهار مدل منتخب، در دوره پایه (۱۹۶۱-۲۰۰۵) و دو دوره آینده نزدیک (۲۰۲۱-۲۰۵۰) و آینده میانی (۲۰۸۰-۲۰۵۱)، تحت دو سناریوی ۴.۵ و ۸.۵ استخراج شد و برای دو دوره آتی، میانگین چهار مدل به دست آمد. تفاوت مطلق مقادیر سالیانه دمای کمینه با دوره پایه، برای تمامی نقاط شبکه، محاسبه و نقشهٔ پراکنش مکانی ترسیم شد (شکل ۱۳).

مقدار و پراکندگی مکانی معیار RMSE محاسبه شده بین دو سری داده‌های شبکه‌ای CRU و چهار مدل اقلیمی برای نقاط شبکه ۰ نیز در شکل ۱۲ نشان داده شده است. همان‌طور که مشاهده می‌شود، دامنه این متغیر، در چهار مدل، مشابه است و سه مدل CCSM4، IPSL و GFDL براساس معیار RMSE، چهار مدل توانمندی بیشتری در شبیه‌سازی مقدار سالیانه این متغیر، در بخش مرکزی و غربی این استان دارند.



شکل ۱۲. مقدار میانگین سالیانه تبخیر- تعرق محاسبه شده، با استفاده از داده‌های مشاهداتی و چهار مدل اقلیمی



شکل ۱۳. تفاوت میانگین سالیانه دمای کمینه مدل‌های اقلیمی با دوره پایه طی دو دوره آتی، تحت دو سناریوی RCP4.5 و RCP8.5  
سنجهش از دور و GIS ایران  
سال دوازدهم شماره اول بهار ۱۳۹۹

بیشترین افزایش در سناریوی واداشت تابشی ۸.۵ و در دوره میانی، حدود  $4^{\circ}\text{C}$  برآورد شده است که در قسمت غربی استان رخ خواهد داد.

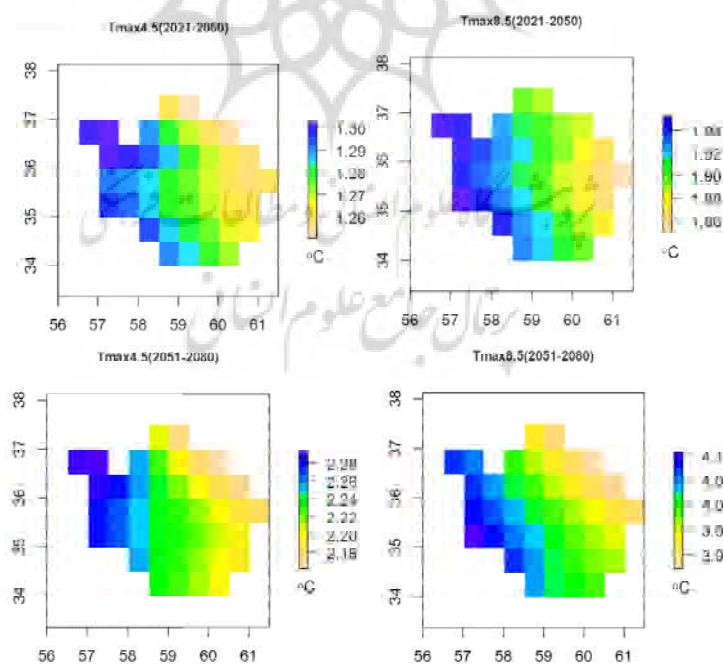
**۳-۴-۳- سناریوهای تغییر اقلیمی تبخیر- تعرق مرجع**  
مقدار ET<sub>0</sub> ماهیانه با استفاده از دو متغیر دمای کمینه و بیشینه چهار مدل اقلیمی، محاسبه شد و مقادیر سالیانه این متغیر به دست آمد. درصد نرخ تغییر ET<sub>0</sub> طی دو دوره آتی با استفاده از رابطه (۹) محاسبه شد (Wilby et al., 2001)

$$\Delta 2020s = \frac{(V_{2020s} - V_{base}) \times 100}{V_{base}} \quad (9)$$

رابطه (۹) در این رابطه،  $V_{base}$  مقدار میانگین متغیر مورد نظر (در اینجا، تبخیر- تعرق) در دوره پایه و  $V_{2020}$  نشان‌دهنده مقدار این متغیر برای دوره ۲۰۲۰-۲۰۵۰ است.

همان‌طور که مشاهده می‌شود، در دوره ۲۰۵۰-۲۰۲۱، احتمالاً دمای کمینه در کل استان افزایشی بیش از  $1.6^{\circ}\text{C}$  خواهد داشت. اگرچه مقدار تفاوت متغیر با دوره پایه تحت دو سناریوی مشابه برآورد شده است؛ در RCP8.5، مساحت بیشتری از استان شاهد افزایش میانگین سالیانه این متغیر خواهد بود.

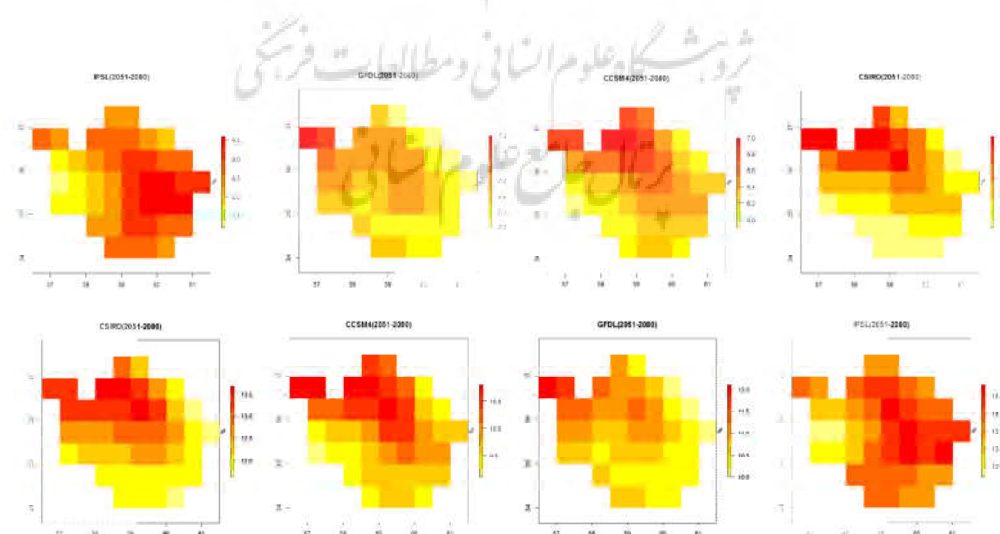
در دوره میانی، اگرچه الگوی مکانی مقادیر تفاوت با دوره پایه مشابه است؛ مقدار افزایش برآورده شده، تحت سناریوی RCP8.5، بیش از  $1^{\circ}\text{C}$  از سناریوی مقابله بیشتر است. بنابراین، تحت سناریوی مذکور (که منطبق بر شرایط فعلی و سناریوی رایج است)، احتمالاً طی دوره ۲۰۵۱-۲۰۸۰، این استان با افزایش بیش از  $3^{\circ}\text{C}$  در میانگین سالیانه دمای کمینه مواجه خواهد شد. در شکل ۱۴، تفاوت مقادیر میانگین سالیانه دمای بیشینه با دوره پایه نشان داده شده است. مشاهده می‌شود که میانگین سالیانه دمای بیشینه چهار مدل، تحت دو سناریو و در دو دوره، افزایش خواهد یافت.



شکل ۱۴. تفاوت میانگین سالیانه دمای بیشینه مدل‌های اقلیمی با دوره پایه طی دو دوره آتی، تحت دو سناریوی RCP8.5 و RCP4.5.

کمترین مربعات خطا، بررسی شد. براساس نتایج آزمون آماری مربوط، شبیب خط برازش یافته بر این متغیر، در تمامی نقاط شبکه و در چهار مدل تحت دو سناریو، اختلاف معناداری با صفر دارد که می‌توان نتیجه گرفت، طی دوره آتی، این متغیر دارای روند صعودی معنادار خواهد بود. در نقاط شبکه در دو مدل GFDL و CCSM4، مقدار شبیب دارای کمترین مقادیر است و توزیع مکانی این متغیر، تحت این سناریو در این دو مدل، از الگوی مکانی مشابهی پیروی می‌کند. در الگوی موردنظر، مقدار شبیب خط از سمت جنوب‌شرق به سمت شمال‌غرب کاهش می‌یابد. براساس محاسبات انجام شده، تحت سناریوی واداشت تابشی ۴.۵، مدل IPSL بیشترین مقدار شبیب را در نقاط شبکه نشان داد. از نظر توزیع مکانی، در این مدل، تقریباً تمامی نقاط شبکه دارای شبیب بین ۹.۵ تا ۱۰.۵ میلی‌متر بر دهه خواهند بود. تحت سناریوی ۸.۵، در چهار مدل، مقدار شبیب افزایش نشان می‌دهد و مدل CSIRO بیشترین مقادیر شبیب را، برای این متغیر، نشان داد. در این مدل، مساحت بیشتری از استان دارای مقادیر شبیب بالا (۱۳.۵ تا ۱۴.۵ میلی‌متر بر دهه) به دست آمد. در چهار مدل، الگوی مکانی مقادیر شبیب مشابه بود (شکل‌های مورد اشاره آورده نشده است).

آزمون مقایسه میانگین  $t$  نشان داد میانگین دوره آینده نزدیک (۲۰۵۰-۲۰۲۱)، تحت دو سناریوی مورد بررسی در چهار مدل، با دوره پایه تفاوت معناداری دارد و از آن بزرگ‌تر است و تحت سناریوی RCP4.5، در چهار مدل، درصد افزایش این متغیر کمتر از سناریوی مقابل است. در شکل ۱۵، پراکندگی مکانی معیار درصد نرخ تغییر محاسبه شده برای چهار مدل، تحت دو سناریوی RCP4.5 (بالا) و RCP8.5 (پایین)، برای دوره ۲۰۵۱-۲۰۸۰ آورده شده است. بیشترین درصد افزایش این دوره، در مقایسه با دوره پایه، با استفاده از دو مدل CSIRO و IPSL پیش‌بینی شده است. مطابق این شکل، می‌توان هم‌خوانی الگوی مکانی تبخیر- تعرق مرجع را، در دوره مورد نظر، بررسی کرد: تحت سناریوی ۴.۵، در دو مدل CCSM4 و CCSM4.۵، مدل CSIRO و IPSL مکانی مشابه است و بیشترین درصد افزایش در شمال‌غرب و مرکز استان پیش‌بینی شده است. تحت سناریوی واداشت تابشی ۸.۵، به‌غیر از مدل الگوی مکانی سه مدل مشابه‌اند. در انتها نیز، روند زمانی این متغیر طی دوره ۱۹۶۱-۲۱۰۰، در چهار مدل اقلیمی منتخب و تحت دو سناریوی RCP4.5 و RCP8.5، با استفاده از آزمون



شکل ۱۵. درصد افزایش تبخیر- تعرق مرجع سالیانه در دوره ۲۰۵۱-۲۰۸۰ در مقایسه با دوره پایه

#### ۴- نتیجه‌گیری

و ۸.۵ ارائه شد. نتایج نشان داد که طی دوره پایه، به رغم تفاوت در مقدار، نحوه پراکنش و الگوی مکانی، مقادیر این متغیر در مدل‌های مورد بررسی با توزیع مکانی مقادیر مشاهده‌ای هم‌خوانی مناسبی دارد. براساس نتایج به دست آمده، طی دو دوره آتی، این دو متغیر افزایش خواهد یافت و همان‌طور که انتظار می‌رود، تحت سناریوی RCP8.5، درصد افزایش بیش از سناریوی مقابله است (Ahmadi & Baaghdeh, 2018).

طبق شرایط پیش‌نگری شده، نیاز آبی در منطقه مورد بررسی افزایش خواهد یافت که این امر منجر به تشدید کمبود آب در این استان (که در حال حاضر نیز با تنش‌های ناشی از کمبود آب روبه‌روست) خواهد شد.

در نتایج این پژوهش، عدم قطعیت‌های اقلیمی وجود دارد. مهم‌ترین عدم قطعیت در پیش‌نگری‌های اقلیمی و ارزیابی آثار آن، ناشی از کاربرد مدل‌های اقلیمی و به‌علت ساختار این مدل‌هاست. به‌منظور کاهش عدم قطعیت، در این مقاله، از برونداد چهار مدل اقلیمی و تحت دو سناریوی متفاوت (شدید و متوسط) استفاده شده است. یکی دیگر از علل افزایش عدم قطعیت در نتایج به دست آمده استفاده از روش ریزگردانی آماری است. در این پژوهش، از روش تصحیح اربیلی بهره گرفته شد.

#### ۵- سپاسگزاری

این مقاله مستخرج از نتایج طرح پژوهشی با عنوان «بررسی مشخصات زمانی تبخیر- تعرق پتانسیل طی دوره ۱۹۶۱-۲۰۱۴ و پیش‌بینی تغییرات آن طی دوره ۲۰۱۱-۲۰۹۹ در ایستگاه‌های منتخب استان خراسان رضوی» بوده که با حمایت معاونت پژوهشی مجتمع آموزش عالی کشاورزی و دامپروری تربت جام انجام شده است. بدین طریق، از حمایت مالی این مجتمع تقدیر و تشکر می‌شود.

#### ۶- منابع

بابائیان، ا.، کوهی، م.، ۱۳۹۱، ارزیابی شاخص‌های اقلیمی کشاورزی تحت سناریوهای تغییر اقلیم

هدف این پژوهش بررسی نوسانات مکانی و روند زمانی میانگین دمای بیشینه، کمینه و ET<sub>0</sub> طی دوره پایه ۱۹۶۱-۲۰۱۴، و ارائه پیش‌نگری از میزان تغییرات این متغیر طی دوره‌های آتی، تحت دو سناریوی واداشت تابشی، در استان خراسان رضوی بوده است. همانند مطالعات مشابه (حسینی و همکاران، ۱۳۹۶؛ عینی و همکاران، ۱۳۹۷؛ Wang et al., 2017؛ Shi et al., 2017؛ Zhao & Fu, 2006) در این پژوهش نیز از داده‌های شبکه‌بندي ماهیانه ( $0.5^{\circ} \times 0.5^{\circ}$ ) واحد تحقیقات اقلیمی (CRU) استفاده شد. نتایج ارزیابی داده‌های میانگین ماهیانه دمای کمینه و بیشینه این پایگاه داده، در مقایسه با داده‌های ایستگاهی، نشان داد داده‌های شبکه‌ای CRU هم‌خوانی مناسبی با مقادیر ایستگاهی دارند. مقدار تبخیر- تعرق مرجع، با استفاده از روش هارگریوز- سامانی (با توجه به نیاز داده‌های محدود)، برای تمامی نقاط شبکه CRU محاسبه شد. توزیع مکانی این متغیر در محدوده خراسان رضوی نشان داد مقدار سالیانه این متغیر، از سمت شمال به جنوب، افزایش می‌یابد. بررسی روند زمانی این متغیر، با استفاده از دو روش کمترین مربعات خطأ و من-

کندا، نشان از روند معنادار افزایشی در مقدار سالیانه این متغیر، طی دوره پایه، در تمامی نقاط شبکه داشت که با نتایج به دست آمده با پژوهش سیزی پرور (۱۳۹۰) هم‌خوانی دارد. این پژوهشگران روند این متغیر را در ایستگاه‌های مشهد و سبزوار، در مقیاس سالیانه، افزایشی و مقدار شیب را برای مشهد، طی دوره ۱۹۶۵-۲۰۰۵ می‌لی متر بر دهه به دست آورده‌اند. توانمندی چهار مدل اقلیمی سری CMIP5 در برآورد مقادیر میانگین سالیانه دمای کمینه و بیشینه و تبخیر- تعرق در تمامی نقاط شبکه، طی دوره پایه و با استفاده از معیارهای دقت، ارزیابی شد و در ادامه، پیش‌نگری‌ای از میزان تغییرات و پراکنش مکانی این سه متغیر، طی دو دوره آینده نزدیک (۲۰۲۱-۲۰۵۰) و آینده میانی (۲۰۵۱-۲۰۸۰)، تحت دو سناریوی واداشت تابشی ۴.۵

- Ahmadi, H., Baaghideh, M., 2018, **Impacts of climate change on apple tree cultivation areas in Iran**, Climatic Change, 153, PP.91–103.
- Allen, R.G., Pereira, L.S., Dirk, R. & Smith, M., 1998, **Crop Evapotranspiration Guidelines for Computing Crop Water Requirements**, FAO Irrigation and Drainage Paper, No. 56. Rome, Italy, PP. 103-156.
- Doorenbos, J. & Pruitt, W.O., 1977, **Guidelines for Predicting Crop Water Requirements**, FAO Irrigation and Drainage Paper, 24.
- Elmahdi, A., Shahkarami, N., Morid, S. & Massah Bavani, A.R., 2009, **Assessing the Impact of AOGCMs Uncertainty on the Risk of Agricultural Water Demand Caused by Climate Change**, 18th World IMACS/ MODSIM Congress, Cairns, Australia, PP. 13-17.
- Giorgi, F., 1990, **Simulation of Regional Climate Using a Limited Area Model Nested in a General Circulation Model**, Journal of Climate, 3(9), PP. 941-963.
- Hargreaves, G.H. & Samani, Z.A., 1982, **Estimating Potential Evapotranspiration**, Journal of Irrigation and Drainage Engineering, 108, PP. 225-230.
- Hessami, M., Gachon, P., Ouarda, T.B.M.J. & St-Hilaire A., 2008, **Automated Regression-based Statistical Downscaling Tool**, Environmental Modelling and Software, 23, PP. 813-834.
- Intergovernmental Panel on Climate Change, 2007, **Climate Change 2007: The Physical Science Basis / Contribution of Working Group I to the 4th Assessment Report of the Intergovernmental Panel on Climate Change**, Cambridge, UK, New York, USA, PP. 24-57.
- در ایستگاه‌های منتخب خراسان رضوی، آب و خاک (علوم و صنایع کشاورزی)، دوره ۲۶، شماره ۴، صص. ۹۵۳-۹۶۷.
- حسینی موغری، م، عراقی نژاد، ش، ابراهیمی، ک، ۱۳۹۶، بررسی دقیق اطلاعات بارش شبکه‌بندی‌شده جهانی در حوضه دریاچه ارومیه، تحقیقات آب و خاک ایران، دوره ۴۸، شماره ۳، صص. ۵۸۷-۵۹۸.
- زارع ابیانه، ح، افروزی، ع، میرزائی، م، باقری، ح، ۱۳۹۴، پیش‌بینی تبخیر- تعرق مرجع ماهانه با استفاده از مدل سری‌های زمانی، آب و خاک، جلد ۳۰، شماره ۱، صص. ۹۹-۱۱۱.
- سبزی پرور، ع، شادمانی، م، ۱۳۹۰، تحلیل روند تبخیر و تعرق مرجع با استفاده از آزمون من- کنداش و اسپیرمن در مناطق خشک ایران، دانش آب و خاک، جلد ۲۵، شماره ۴، صص. ۸۲۳ تا ۸۳۴.
- سیاری، ن، علیزاده، ا، بنایان اول، م، فرید‌حسینی، ع، حسامی کرمانی، م، ۱۳۹۰، مقایسه دو مدل گردش عمومی جو (HadCM3, CGCM2) در پیش‌بینی پارامترهای اقلیمی و نیاز آبی گیاهان تحت تغییر اقلیم (مطالعه موردی: حوضه کشفروود)، آب و خاک، جلد ۲۵، شماره ۴، صص ۹۲۵-۹۱۲.
- طلاتیپه، ن، بهمنش، ج، منتظری، م، ۱۳۹۲، پیش‌بینی تبخیر- تعرق پتانسیل با استفاده از مدل‌های سری زمانی (مطالعه موردی: ارومیه)، آب و خاک، جلد ۲۷، شماره ۱، صص. ۲۱۳-۲۲۳.
- عینی، م.ر، جوادی، س، دلاور، م، ۱۳۹۷، ارزیابی عملکرد داده‌های باز تحلیل شده پایگاه‌های اقلیمی جهانی CRU و NCEP CFSR در شبیه‌سازی هیدرولوژیکی مدل SWAT مطالعه موردی: حوضه آبریز مهارلو، تحقیقات منابع آب ایران، دوره ۱۴، شماره ۱، صص. ۳۲-۴۴.

- Intergovernmental Panel on Climate Change, 2013, **Climate Change 2013: The Physical Science Basis. Contribution of Working Group I to the Fifth Assessment Report of the Intergovernmental Panel on Climate Change**, Cambridge Univ. Press, Cambridge.
- Meinshausen, N., Hare, W., Raper, S.C.B., Frieler, K., Knutti, R., Frame, D.J. & Allen, M.R., 2009, **Greenhouse-gas Emission Targets for Limiting Global Warming to 2 C**, *Nature*, 458, PP. 1158-1162.
- Novotny, E.V. & Stefan, H.G., 2007, **Stream Flow in Minnesota: Indicator of Climate Change**, *Journal of Hydrology*, 334, PP. 319-333.
- Reclamation, 2013, **Downscaled CMIP3 and CMIP5 Climate Projections: Release of Downscaled CMIP5 Climate Projections, Comparison with Preceding Information, and Summary of User Needs**, U.S. Department of the Interior, Bureau of Reclamation, Technical Service Center, Denver, Colorado, 116 p., available at: [http://gdo-dcp.ucllnl.org/downscaled\\_cmip\\_projects/techmemo/downscaled\\_climate.pdf](http://gdo-dcp.ucllnl.org/downscaled_cmip_projects/techmemo/downscaled_climate.pdf).
- Semenov, M., 2008, **Simulation of Extreme Weather Events by a Stochastic Weather Generator**, *Climate Research*, 35, PP. 203-212.
- Semenov, M.A. & Brooks, R.J., 1999, **Spatial Interpolation of the LARS-WG Stochastic Weather Generator in Great Britain**, *Climate Research*, 11, PP. 137-148.
- Sen, P.K., 1968, **Estimates of the Regression Coefficient Based on Kendall's tau**, *Journal of the American Statistical Association*, 63, PP.1379-1389.
- Shi, H., Li, T. & Wei, J., 2017, **Evaluation of the Gridded CRU TS Precipitation Dataset with the Point Rain Gauge Records over the Three-River Headwaters Region**, *Journal of Hydrology*, 548, PP. 322-332.
- Taylor, K.E., 2001, **Summarizing Multiple Aspects of Model Performance in a Single Diagram**, *Journal of Geophysical Research*, 106, PP. 7183-7192.
- Taylor, K.E., Stouffer, R.J. & Meehl, G.A., 2012, **An Overview of CMIP5 and the Experiment Design**, *Bulletin of the American Meteorological Society*, 93, PP. 485-498.
- Theil, H., 1950, **A Rank-invariant Method of Linear and Polynomial Regression Analysis**, I. *Nederlands Akad. Wetensch. Proc. 53*, PP. 386-392.
- Thornthwaite, C.W., 1948, **An Approach Toward a Rational Classification of Climate**, *Geographical Review*, 38, PP. 55-94.
- Wang, Z., Xie, P., Lai, C., Chen, X., Wu, X., Zeng, Z. & Li, Z., 2017, **Spatiotemporal Variability of Reference Evapotranspiration and Contributing Climatic Factors in China During 1961-2013**, *Journal of Hydrology*, 544, PP. 97-108.
- Wilby, R.L., Dawson, C.W. & Barrow, E.M., 2001, **A Decision Support Tool for the Assessment of Regional Climate Change Impacts**, *Journal of Environmental Modeling and Software*, 17, PP. 147-159.
- Zhao, T. & Fu, C., 2006, **Comparison of Products from ERA40, NCEP-2, and CRU with Station Data for Summer Precipitation over China**, *Advances in Atmospheric Sciences*, 23, PP. 593-604.



سنجش از دور

، ایران GIS

سال دوازدهم، شماره اول، بهار ۱۳۹۹  
Vol.12, No. 1, Spring 2020

سنجش از دور و GIS ایران  
Iranian Remote Sensing & GIS

55-72



## Study of Spatial and Temporal Characteristics of ETo and Temperature in Khorasan Razavi Province Using CRU TS Dataset and Their Future Projections Based on CMIP5 Climate Models

Kouhi, M.\*<sup>1</sup>, Shirmohammadi Akbarkhani, Z.,<sup>2</sup> Mohammadian, A.,<sup>3</sup> Habibi Nokhandan, M.<sup>4</sup>

1. Assistance Prof. of Climatological and Climate Change Research Institute (CRI)
2. Assistance Prof., Faculty of Agriculture and Animal Science, Torbat-e Jam Educational Complex, Khorasan Razavi
3. M.Sc. in Water and Irrigation Engineering, Member of Applied Climatology Research Group, Climatological and Climate Change Research Institute
4. Associate Prof., Head of Applied Climatology Research Group, Climatological and Climate Change Research Institute

### Abstract

Evapotranspiration is significantly affected by global climate changes as an essential component of both climate and hydrological cycles. Comprehensive analyses of the spatiotemporal changes of ETo enhance the understanding of hydrological processes and improve water resource management. The main objective of this study is to investigate and predict the temporal trend and spatial distributions of the mean maximum temperature (Tmax), the mean minimum temperature (Tmin) and reference evapotranspiration (ETo) during 1961-2014, 2021-2050 and 2051-2080 over Khorasan Razavi Province using CRUTS3.23 dataset and the outputs of four CMIP5 climate models. The results were as follows: (i) the ability of CRU dataset in simulating monthly mean of Tmax and Tmin is suitable, (ii) generally, ETo increased from north to south across the province (iii) the mean annual minimum temperature projected to increase by 1.6 under RCP4.5 and RCP8.5 scenarios during two future periods. During 2051-2080, this variable will have an increase by 3° C under RCP8.5 scenario. The maximum temperature will increase by 4° C during the middle future period under RCP8.5 scenario. (v) The difference between mean annual ETo values of two periods was statistically significant in all grid points covering this province. The results showed that these increases may lead to the increase in crop water requirements and aggravate the water shortage in this area in view of the increase in ETo in response to ongoing climate change.

**Keywords:** Climate Change, ETo, CRU Gridded Dataset, Climate Model.

\* Correspondence Address: Climatological and Climate Change Research Institute, Saber Ave., Jomhouri Eslami Blvd., Mashhad.  
Email: man\_kouhi@yahoo.com